

(7.8) 砂のせん断強度と密度の関係

東北大 諸戸靖史  
東北大 中村俊夫

本報告は砂のような非粘着性の粒状材料の密度とせん断抵抗角の関係について調べたものである。非粘着性の土を对象とした強度公式は表-1のようにまとめられる。一般的にいって、理論的に導かれたものは仮定へ検証あるいは実験値の表現性の面において不満がある。一方、実験的に求められたものではその式のもつ物理的な意味が不明である。また、式の精度の点から見て場合、一係数の式は精度の点で二係数の式に当然劣る。しかし、一係数の式は二係数の式よりも簡単で便利である利点があり、実用的である。表-1における校が国から提案された式は  $N = 0.2$  と  $10/11$  のものである。 $10/11$  は  $10/10$  と同じ内容を持つている。諸戸は  $N = 0.2$  式を採用し最上の定数  $\gamma$  の平均的な値  $\bar{\gamma}$  と最少間ゲキ比  $e_{min}$  の間に直線的な関係

$$\bar{\gamma} = a e_{min} + b$$

$$k = (1 + e_0) \sin \phi$$

a : 粒子物性に関する定数

b : シンボル

$e_0$  : 初期間ゲキ比

$\phi$  : せん断抵抗角

であることを見だして、そこで、この関係を利用して砂・レキ材の工学的分類のための便利な一図表を作成する試みをしている。本報告は最上の定数  $\gamma$  と初期間ゲキ比の関係に右下の傾向のあることを観察し、二係数の強度式のもつ内容を考察しようとするものである。

最上の定数  $\gamma$  と初期間ゲキ比  $e_0$  の関係から観察されること：

図-1, 2, 3 に  $\gamma$  vs  $e_0$  の関係を書いた。ここで、図-2, 3において、 $e_0$  が大きくなるにつれて  $\gamma$  の値が減少する傾向にある。ただし、図-1ではこのような傾向は見られない。

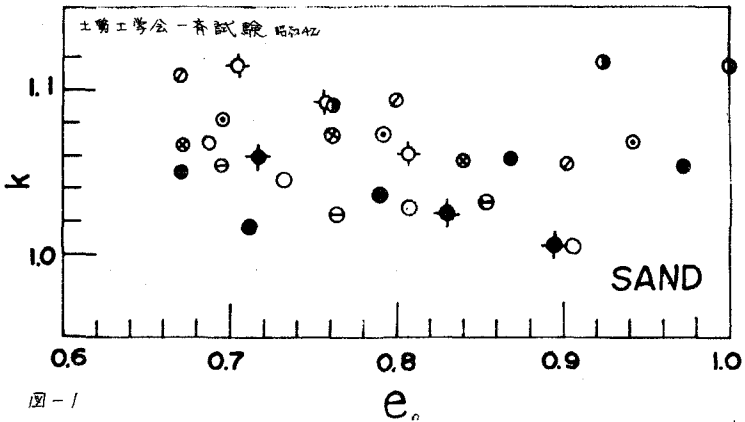


図-1

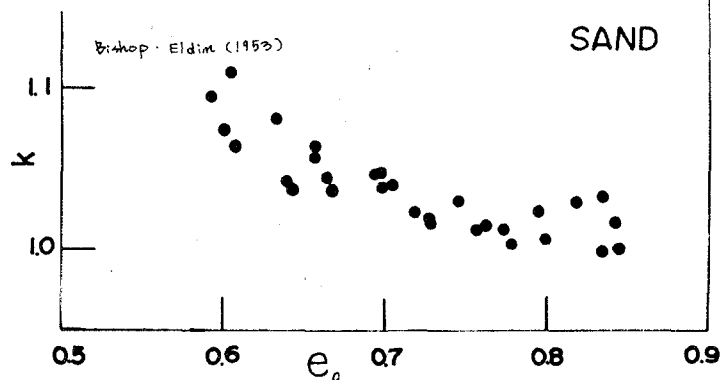


図-2

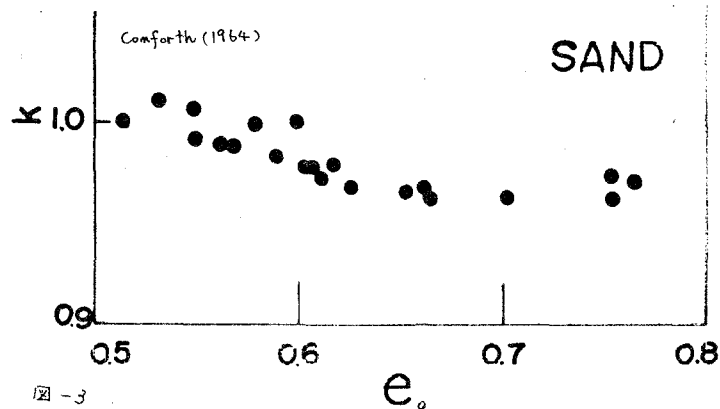


図-3

表 - 1

STRENGTH FORMULI OF COHESIONLESS SOIL

No.	Author	Formula
No.1	Caquot et Kerisel(1967/1956)	$e \tan\phi = C_1$
No.2	Mogami(1964)	$\sin\phi = \frac{C_2}{1+e}$
No.3	Helenelund(1966)	$\phi = C_3 - \frac{G_s}{1+e}$
No.4	Ide(1960)	$\tan\phi = - C_4 n + C_5$
No.5	Winterkorn(1960)	$\tan\phi = \frac{C_6}{e - e_{min}}$
No.6	Feda & Kamenov(1963)	$\phi = C_7 + C_8 n$
No.7	Kezdi(1964)	$\tan\phi = \frac{C_9 \sqrt{e - e_{min}}}{\exp(-\frac{e - e_{min}}{C_{10}}) - 1}$
No.8	Hebst & Winterkorn(1965)	$\tan\phi = \frac{C_{11} (e_{cr} - e_{min})}{e - e_{min}}$
No.9	Shultze(1966)	$\cot\phi = C_{12} e + C_{13}$
No.10	Brinch Hansen(1967)	$\sin\phi = C_{14} - C_{15} n$ $\approx \frac{C_{16}}{C_{17} + e^2}$
No.11	Mogami(1968)	$\sin\phi = \frac{C_{18}}{1+e} + C_{19}$
$\phi$ : Internal Friction Angle $e_{min}$ : Minimum Void Ratio $e$ : Void Ratio $e_{cr}$ : Critical Void Ratio $n$ : Porosity $G_s$ : Specific Gravity $C_i$ : Constants		

ない。図-2,3の傾向にしたがうとき、角やゆるい場合に角の値が一定に近い値をとっている意味はどのようなんものでありますか。ここでダイレクタンサーの傾向に思いあたる。ゆるい状態ではダイレクタンサーの出し合が屈曲状態よりも少ないとあります。このようだダイレクタンサーの出し合の低い領域で角の一定性が良いといふことは、Taylor・Bishopの修正をほどこして求められた角を用いて角の値を算定してみたうかとこうことを示唆する。

豊浦標準砂についての一実験：そこで、筆者らは乾燥した豊浦標準砂について、 $\delta_s = 1.0 \text{ kg/cm}^3$  のもとで排水三軸圧縮試験を行った結果を検討する。供試体の直徑Dは10.0cmと3.5cmであった。供試体の高さHはDの2倍とした。破壊時のせん断抵抗角 $\phi$ は

$$\sin \phi = \frac{\delta'_t - \delta'_s}{\delta'_t + \delta'_s} \quad (1)$$

から求めた。図-4はD=10.0cmの場合の結果が示されている。 $\phi_r$  は Taylor・Bishop のエネルギー修正を行って求めたせん断抵抗角である。これの中 がよび  $\phi_r$  を用いて

$$k_r = (1 + e_0) \sin \phi_r \quad (2), \quad k_r = (1 + e_0) \sin \phi_r \quad (3)$$

の値を計算している。 $k_r - e_0$  曲線

は  $e_0$  や大きくなるにしたがって

やや右下りになら傾向があるが

$k_r - e_0$  曲線はほとんど一定である。

図-5のD=3.5cmの場合において

ても同様の傾向がある。このこ

とから、図-4,5 の実験結果は

$$\sin \phi = \frac{a}{1 + e_0} + b \quad (4)$$

として整理されるとなる。

この式は表-1のNo.10とNo.11

の式に一致するものである。こ

こで、 $a = C_{1B}$  体積多孔性、

$b = C_{2B}$  体相対密度 Dr の関数

であらわしが示唆される。

以上まとめると本実験において、Taylor・Bishop のエネルギー修正をほどこして求めたせん断抵抗角 $\phi_r$  を用いて、強度定数 $k_r$  を求めるとその角の一定性は最も強度定数 $k_r$  よりもさらによくなる。このことを用いて強度式 式(4)の解釈ができた。

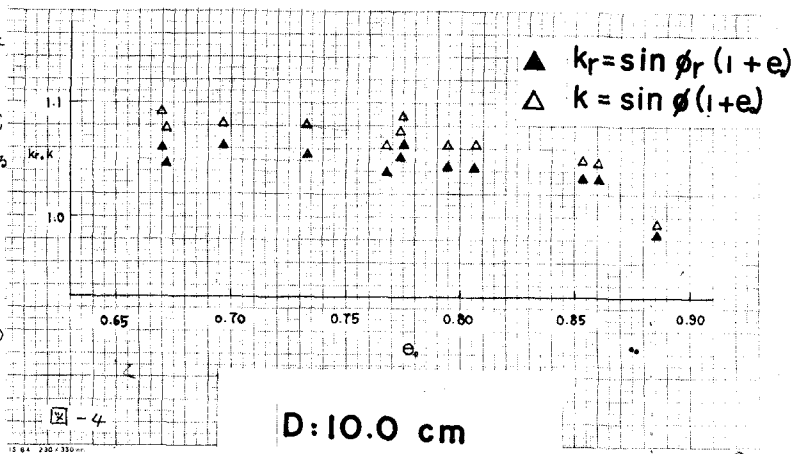


図-4

D: 10.0 cm

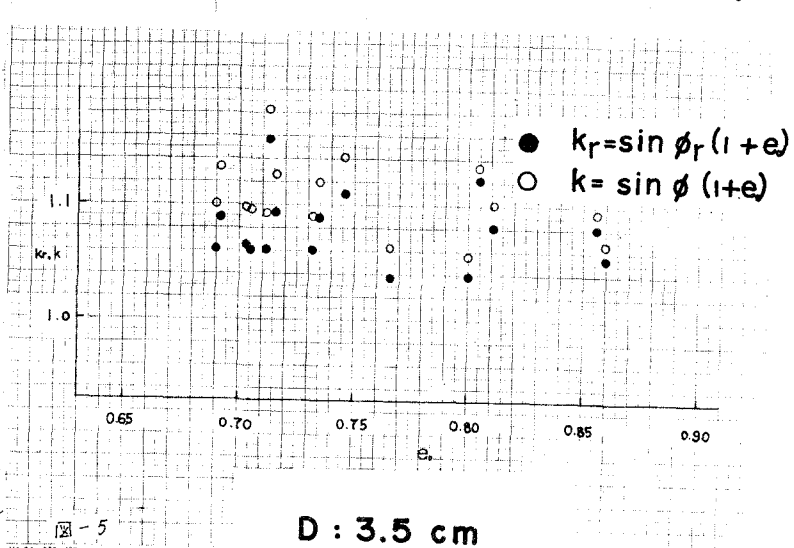


図-5

D: 3.5 cm